

***Polymères chargés bons conducteurs de chaleur: rêve ou réalité ?  
- Conception, réalisation et analyse multi-échelle -***

***B. Garnier, F Danès***



***Laboratoire de Thermocinétique, UMR CNRS 6607  
Polytech'Nantes***

- Objectifs:

amélioration de la conductivité des matériaux thermoplastiques  
par l'ajout de charge conductrice de chaleur

- Défi\* :

- conductivité thermique effective transversale  $\lambda$  : de 0.2 (polymère) à 2 W/ m K voir plus (4 à 6 W/m K ?)
- sans dégradation importante des propriétés mécaniques
- maintien d'un coût modéré

- Applications :

Echangeurs de chaleur, drains thermiques (automobile, électronique, électrotechnique...)

\*:"High Thermal Conductivity Thermoplastic Compounds", Craft BRST - CT98-5302, Eur. Commis. DG12- HIAS, Nov. 1998/2001

## Etat de l'art

---

- La difficulté de réaliser des polymères chargés bons conducteurs croît dans l'ordre suivant:  
encre, colles, élastomères, thermodurcissables et ***thermoplastiques***
- Conductivité thermique de quelques thermoplastiques chargés :

	Matrice ( $\lambda_{t,m}$ / W.m <sup>-1</sup> K <sup>-1</sup> )	Charge ( $\lambda_{t,f}$ / W.m <sup>-1</sup> K <sup>-1</sup> )	Forme	Taille μm	charge % vol.	$\lambda_{t,eff}$ W.m <sup>-1</sup> K <sup>-1</sup>	Ref.
1	PE (0.26)	graphite (210)	poudre		30	1.8	Agari 1986
2	PE (0.26)	Cu (390)	poudre		30	1.25	Agari 1986
3	PE (0.26)	Al <sub>2</sub> O <sub>3</sub> (33)	poudre		33	0.75	Agari 1986
4	PP (0.26)	Al (220)	fibre	100/1250	15	0.72	Bigg 1986
5	PP (0.26)	Al (220)	fibre	100/1250	18.3	2.2	Bigg 1986
6	PE (0.47)	CaC0 <sub>3</sub> (4,7)	poudre		47	1.25	Barta 1997
7	PC (0.19)	C(210)	fibre	8/ 3000	44	0.5	Srivastava 1997
8	PE (0.50)	Al (220)	poudre	40 80	33	3.6	Tavman 1996

PC-polycarbonate, PE- polyéthylène, PP – polypropylène

## **1- Facteurs modifiés lors des essais et résultats \***

## **2- Modélisation de la conductivité thermique effective**

## **3- Résistance thermique de contact inclusion/matrice**

\*: "High Thermal Conductivity Thermoplastic Compounds", Craft BRST - CT98-5302,  
Eur. Commis. DG12- HIAS, Nov. 1998/2001

## 1- Facteurs modifiés lors des essais et résultats

---

La conductivité thermique effective  $\lambda_t$  dépend de:

- la nature de la matrice,
- la nature, la taille, la forme et le taux volumique des inclusions,
- la nature et le taux volumique de tensioactif,
- des conditions de mise en œuvre (durée et intensité du mélangeage, température.) et
- des conditions de mise en forme (procédés de moulage, géométrie du moule, épaisseur de la pièce....)

## *Effet de la nature et de la forme des inclusions*

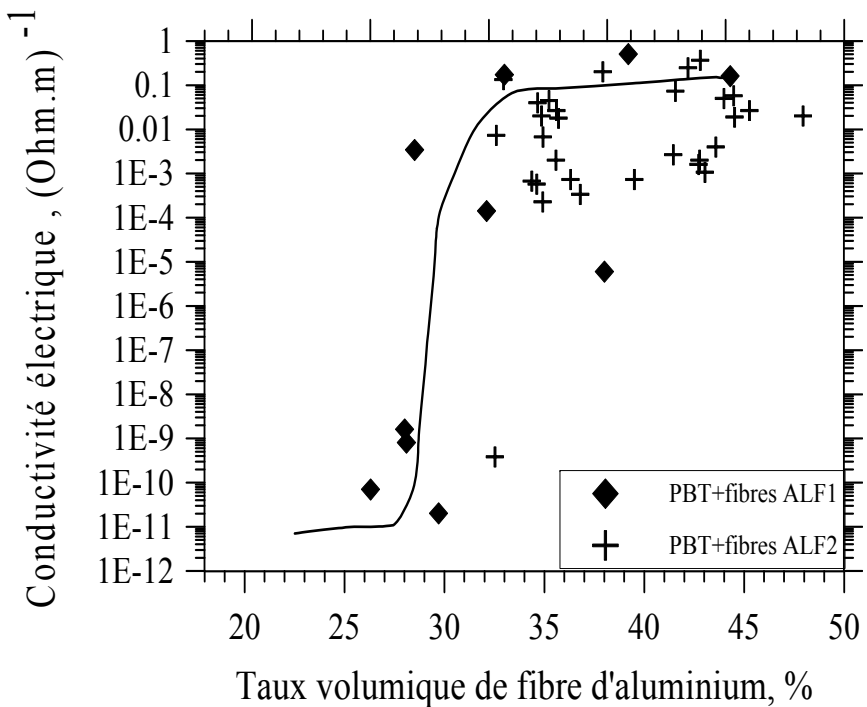
---

- **Matrice polymère:** polybutylene terephthalate PBT
- **Mise en œuvre et mise en forme :** procédés semi -industriels

Charge	Noir de fumée CB	Poudre d'aluminium*	Fibre d'aluminium ALF1*	Fibre d'aluminium ALF2*	Poudre d'aluminium + ALF1 + CB
$\phi$ , % en masse	12	27	41	27	41
$\lambda_{t,eff}$ , W/ m K	0.37	0.48	0.79	0.49	0.92
				0.61	1.42
					0.5

\*: Al. powder (aver. diam.:300µm), ALF1 fiber (diam.:150µm, length: 1.1mm), ALF2 fiber (diam.: 90µm, length: 1.1mm)

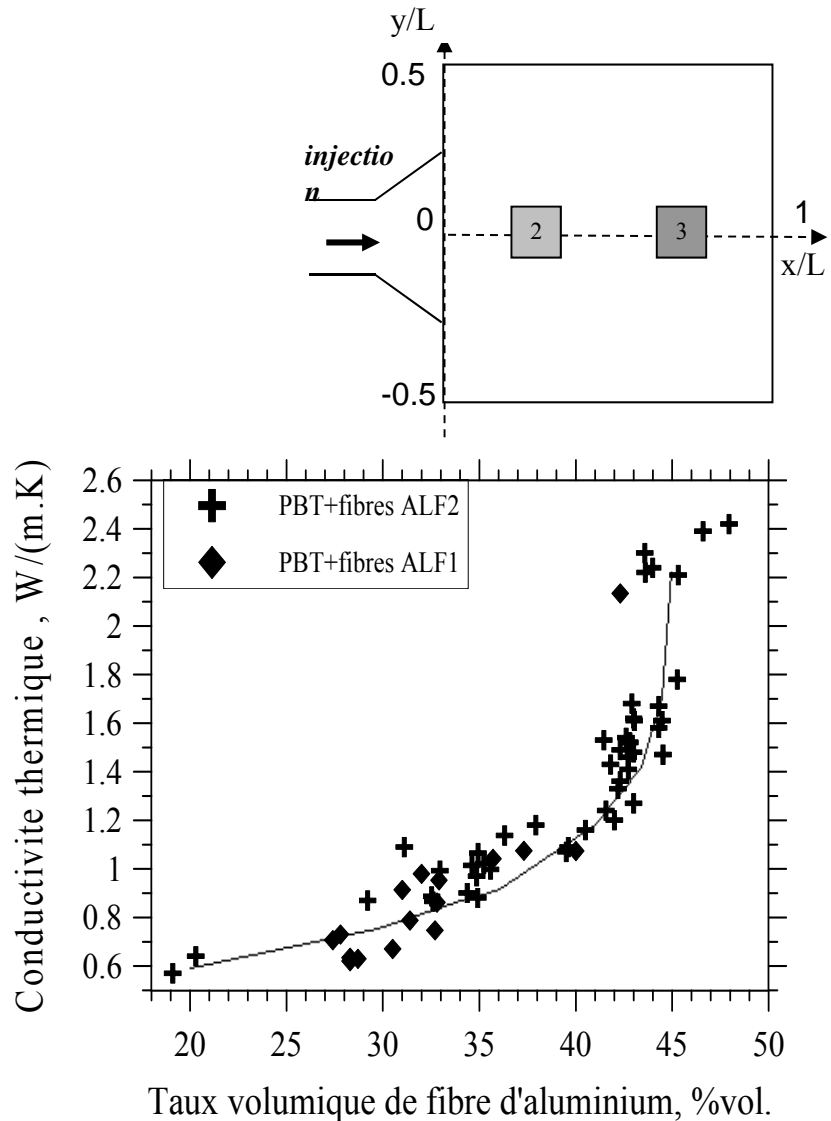
## Effet du taux de charge



conductivité électrique

PBT+fibres d'aluminium

$$\left\{ \begin{array}{l} ALF1 : diam. 160 \mu m \\ ALF2 : diam. 90 \mu m \end{array} \right.$$

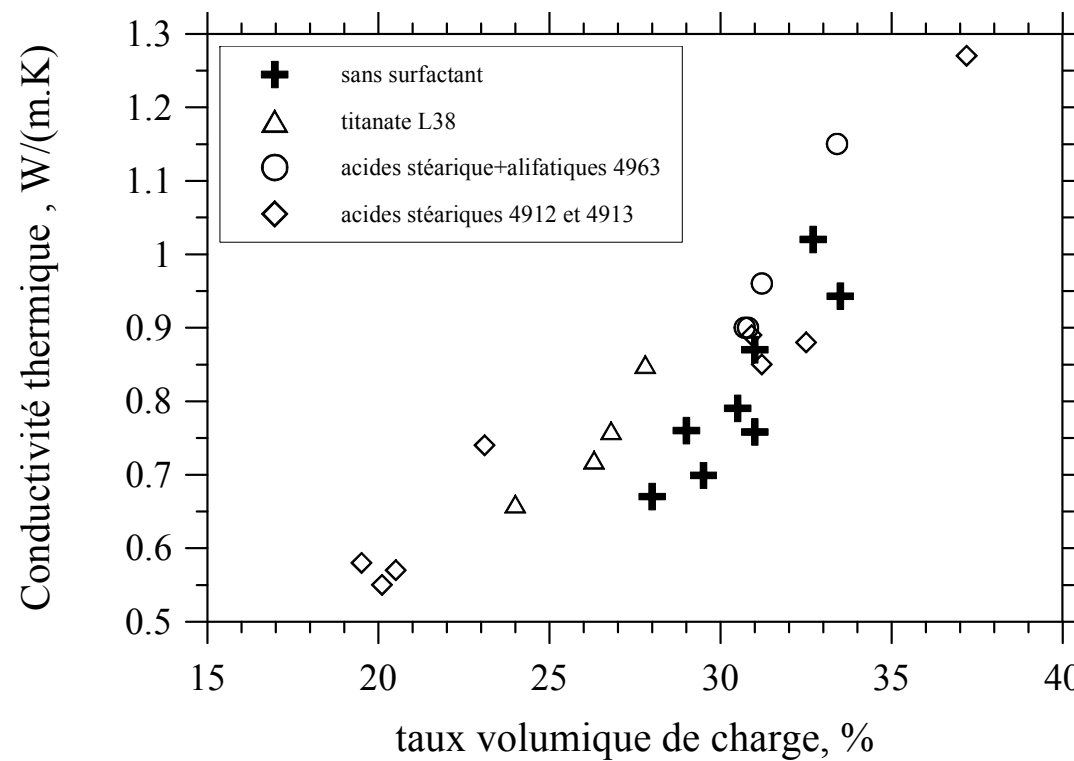


conductivité thermique

Garnier et al, Int J Thermophysics 2003

## *Effets des surfactants*

Les surfactants (0.15% en masse) semblent augmenter la conductivité thermique

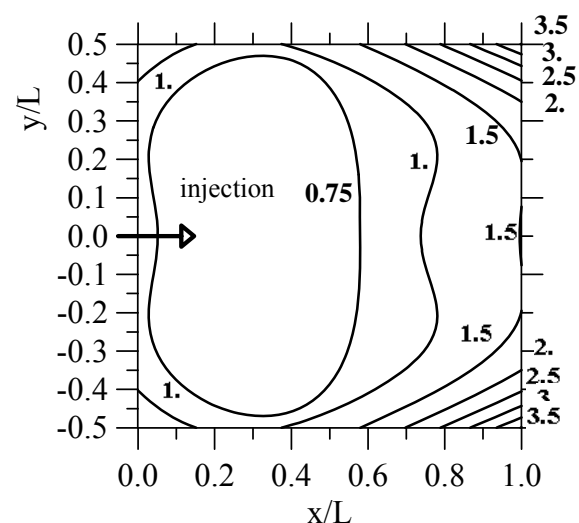


## *Uniformité de la distribution du taux de charge et des propriétés therm. et elect.*

- Fibres AL diam. 160 $\mu\text{m}$ ; 32,7% vol. :

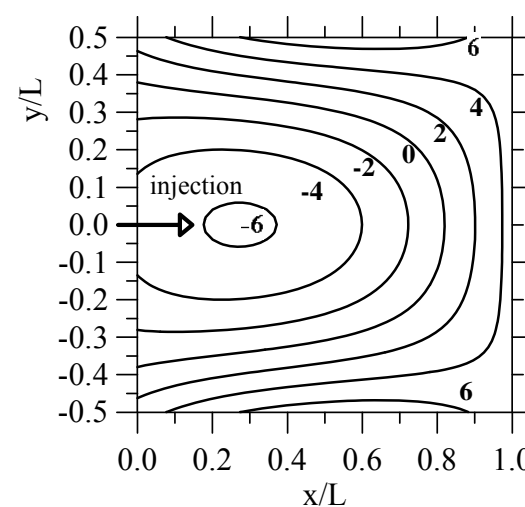
(a) Cond. Thermique\*

$$\lambda_{t,moy} = 0,90 \text{ W m}^{-1} \text{ K}^{-1}$$



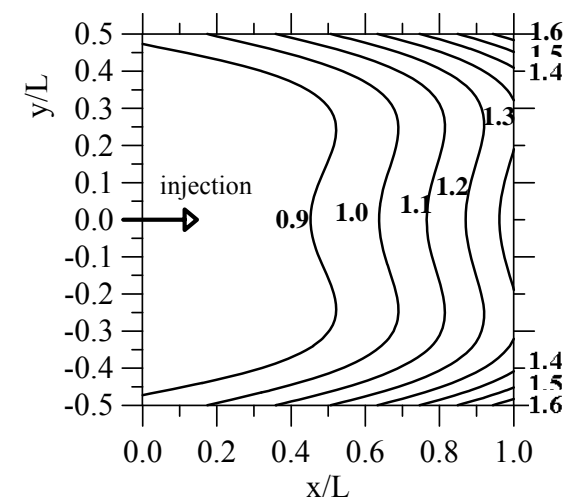
(b) Log<sub>10</sub> de la cond. électrique\*

$$\log_{10}(\lambda_{el}) = -5.22$$



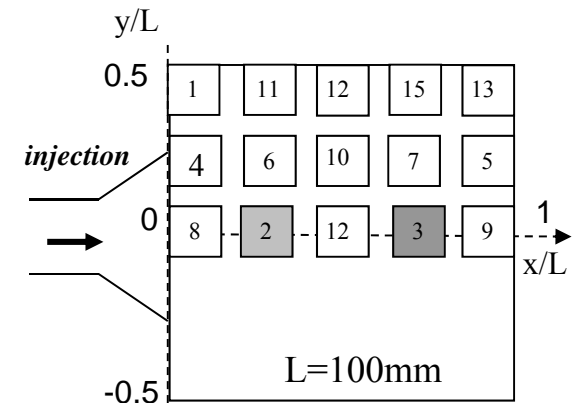
(c) Taux vol. de charge\*

$$\phi_{moy} = 0,327$$



Danès et al., Comp. Sci. Techn. 2005

\*: rapportée à la valeur moyenne dans la pièce



## Uniformité de la distribution du taux de charge et des propriétés therm.

•Fibres AL  
diam. 160 $\mu$ m  
32,7% vol. :

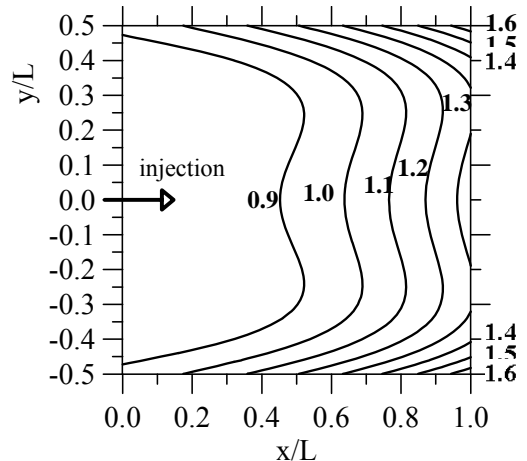
$$\phi_{moy} = 0,327$$

$$S_\phi = 0,059$$

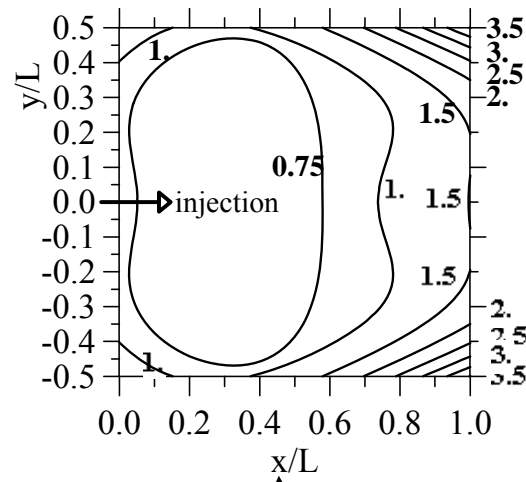
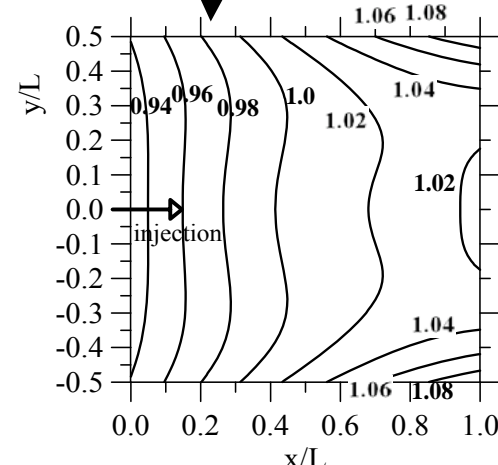
•Fibres AL  
diam. 90 $\mu$ m  
34,8% vol.:

$$\phi_{moy} = 0,348$$

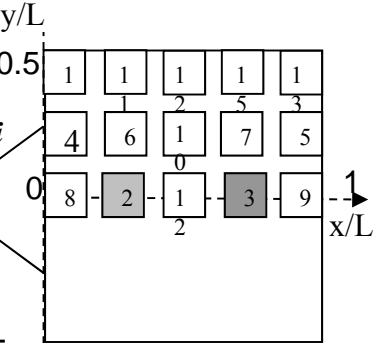
$$S_\phi = 0,013$$



(a) Taux vol. de charge\*



(b) Cond. Thermique\*



$$\lambda_{t,moy} = 0,9 \text{ W m}^{-1} \text{ K}^{-1}$$

$$S_{\lambda t} = 0,46$$

$$\lambda_{t,moy} = 1,1 \text{ W m}^{-1} \text{ K}^{-1}$$

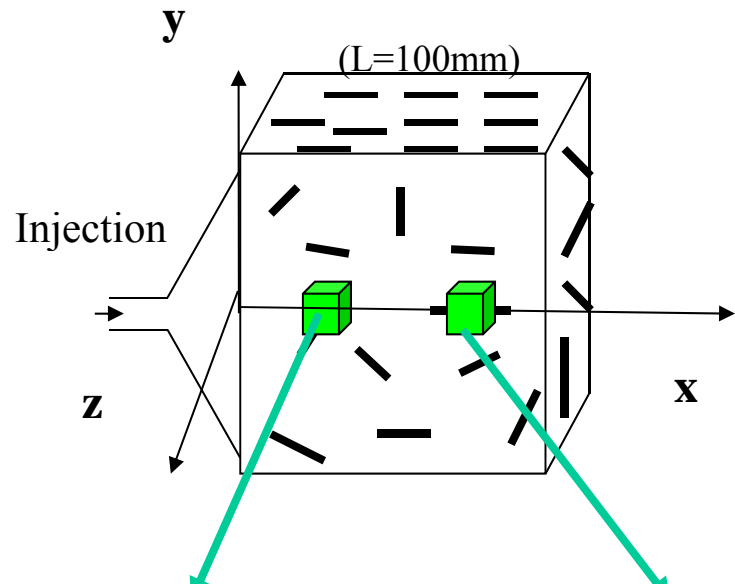
$$S_{\lambda t} = 0,23$$

Danès et al., Comp. Sci. Techn. 2005

\*: rapportée à la valeur moyenne dans la pièce

s: écart standard des mesures locales / moyenne de la pièce

## *Orientation des fibres et anisotropie des pièces*



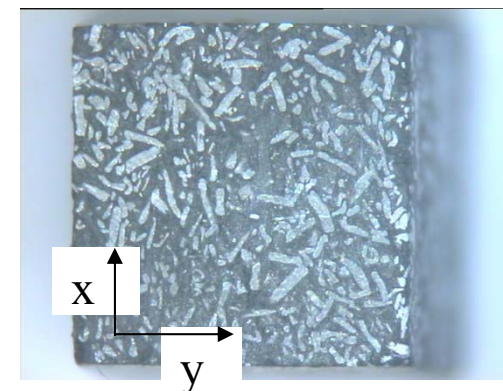
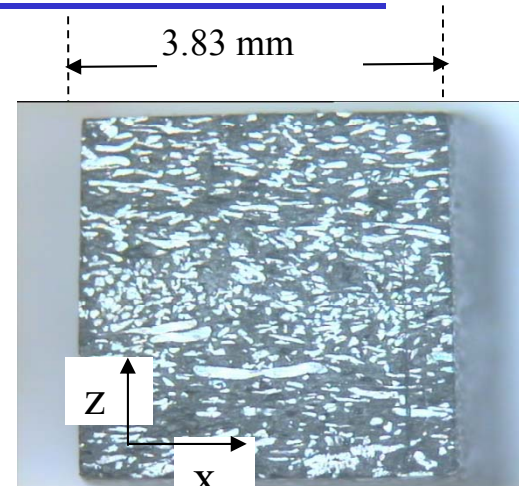
En  $x/L=0,175$  et  $y/L=0$ :

$$\begin{aligned}\lambda_x &= 7,0 \text{ W.m}^{-1} \text{ K}^{-1} \\ \lambda_y &= 4,3 \text{ W.m}^{-1} \text{ K}^{-1} \\ \lambda_z &= 1,6 \text{ W.m}^{-1} \text{ K}^{-1}\end{aligned}$$

En  $x/L=0,825$  et  $y/L=0$ :

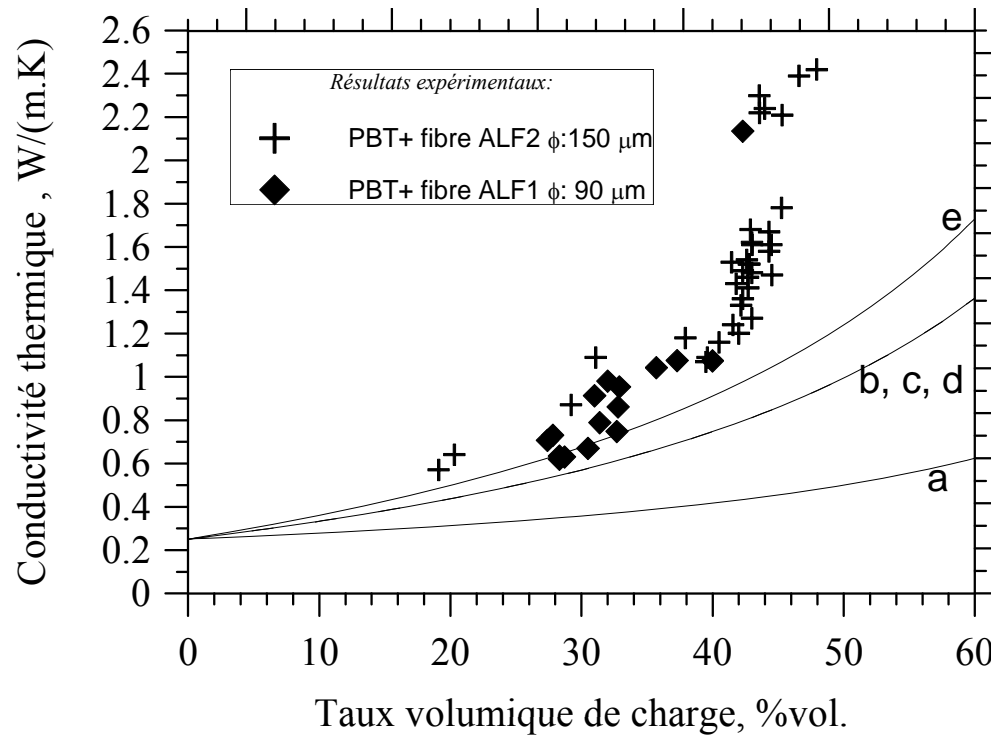
$$\begin{aligned}\lambda_x &= 7,6 \text{ W.m}^{-1} \text{ K}^{-1} \\ \lambda_y &= 5,0 \text{ W.m}^{-1} \text{ K}^{-1} \\ \lambda_z &= 2,1 \text{ W.m}^{-1} \text{ K}^{-1}\end{aligned}$$

$\lambda_z \ll \lambda_y < \lambda_x$



## 2- Modélisation de la conductivité thermique effective

- Les modèles physiques macroscopiques actuels (empiriques, semi empiriques ) sous estiment  $\lambda_t$  pour  $\lambda_t/\lambda_{\text{matrice}} > 3$



Modèles (bornes inférieures):

- a: Wiener 1912
- b: Hatta et Taya 1985
- c: Maxwell-Eucken 1932
- d: Nielsen 1974
- e: Hashin et Shtrikman 1962

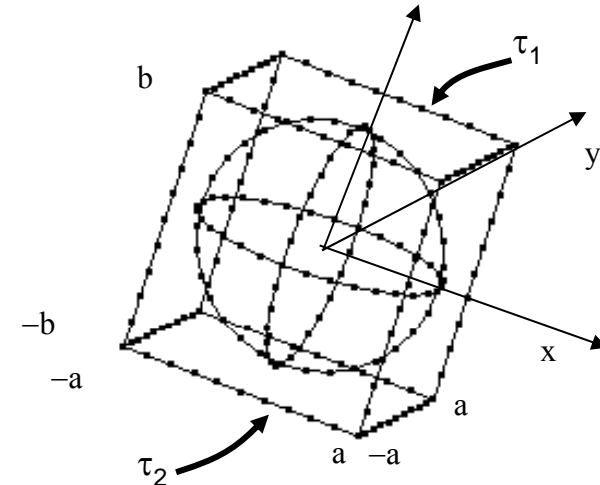
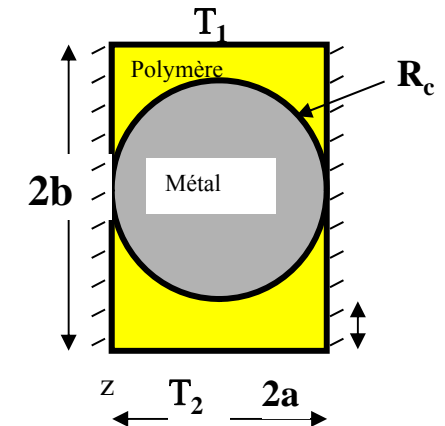
## Modélisation numérique (Eléments finis)

For the 3D finite element study of the effective thermal conductivity, we considered:

- the stationary heat conduction equation
- a tetragonal lattice of spherical inclusions of equal size
- a thermal contact resistance between inclusion and matrix
- adiabatic conditions for all faces except the top and bottom ones (i.e. for  $z=-b$  and  $z=b$ )

Elementary cell:

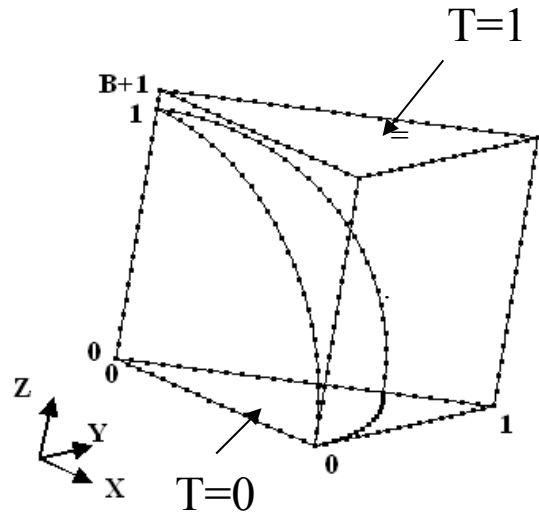
sphere of radius  $a$  centered in  
a tetragonal cell of dimensions:  $2a \times 2a \times 2b$



## Main features of the adopted model

---

- Using dimensionless physical quantities, this results in :  $E=E(B,C,D)$



with:  $E = \frac{\lambda_{eff}}{\lambda_m}$  and

$\lambda$  : thermal conductivity  
 $r_c$  : thermal contact resistance  
 $a$ : radius of the inclusion  
 $b$ : half height of the tetragonal cell  
 $m$  : matrix  
 $f$ : filler  
 $eff$ : effective (composite),

$$\left\{ \begin{array}{l} D = \frac{\lambda_m}{\lambda_f} \\ C = \frac{r_c \lambda_m}{a} \\ B = \frac{b-a}{a} \end{array} \right.$$

The filler amount  $\varphi$  is correlated (*tetragonal cell*) to  $B$  by:  $\varphi = \frac{sphere\ volume}{cell\ volume} = \frac{\pi}{6(1+B)}$

Finite element (Comsol Multiphysics, 48000 to 58000 tetrahedra, Lagrange multipliers)

## *Distribution of longitudinal heat flux*

The dimensionless heat flux  $J_Z$  crossing the elementary cell is calculated by:

$$J_Z = \frac{\partial T}{\partial z} \Big|_{z=0}$$

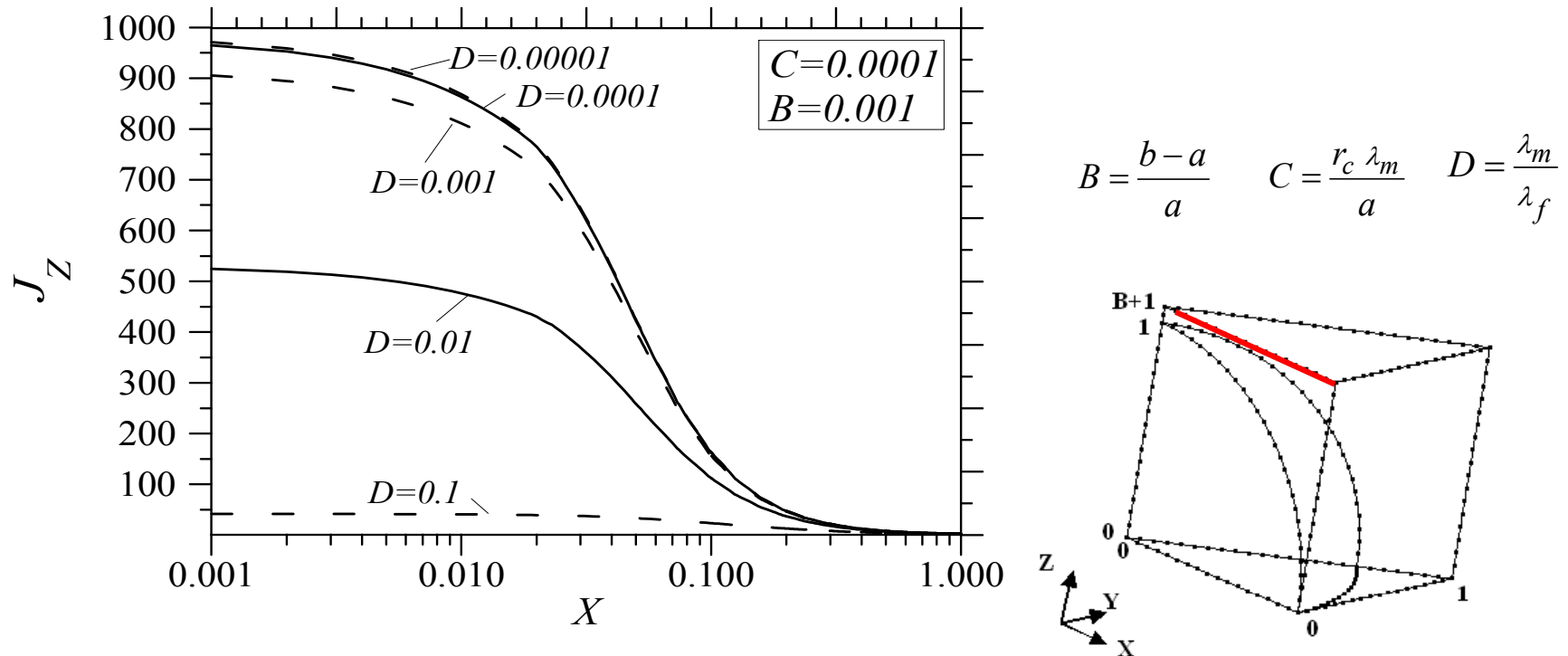


Fig. 2 : Reduced heat flux  $J_Z$  vs  $D$  on the line  $(X=0, Y=0, Z=1.001)$  and  $(X=1, Y=0, Z=1.001)$

## *Validation of the numerical results*

---

#	Parameters			Computed entity	Bibliographic source			This work	Discrepancy %
	B	C	D		author	Computing	value		
1	0	0	0	$\partial E / \partial \ln B$	[30]	analytic local	-1.571	-1.560	.8
2	0	0	.1	E	[27]	analytic global	3.47	3.473	.1
3	0	0	70000	E	[27]	analytic global	.344	.344	0
4	.7	0	0	E	[32]	finite elements	.48	.47	2.1
5	0	.5	.00001	E	[18]	analytic global	1.4478	1.44820	.04
6	0	.5	.1	E	[18]	analytic global	1.3135	1.31363	.01
7	0	2	.00001	E	[18]	analytic global	.7174	.71077	.05
8	0	3	.1	E	[18]	analytic global	.5910	.59183	.13

[18]: Cheng H.1997 ; [27]: Sangani A. 1982; [30]: Batchelor G.1977; [32]: Filip C. 2004

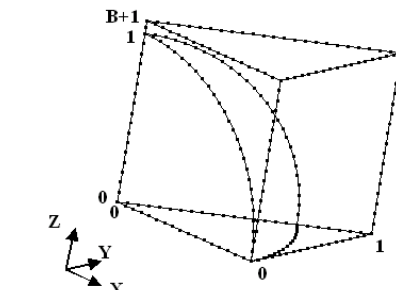
- One can infer that the discrepancy is within 0.1% for  $E$  and within 1% for the slopes of  $E$  vs. the logarithm of factors.

## *Effect of varied factors on E*

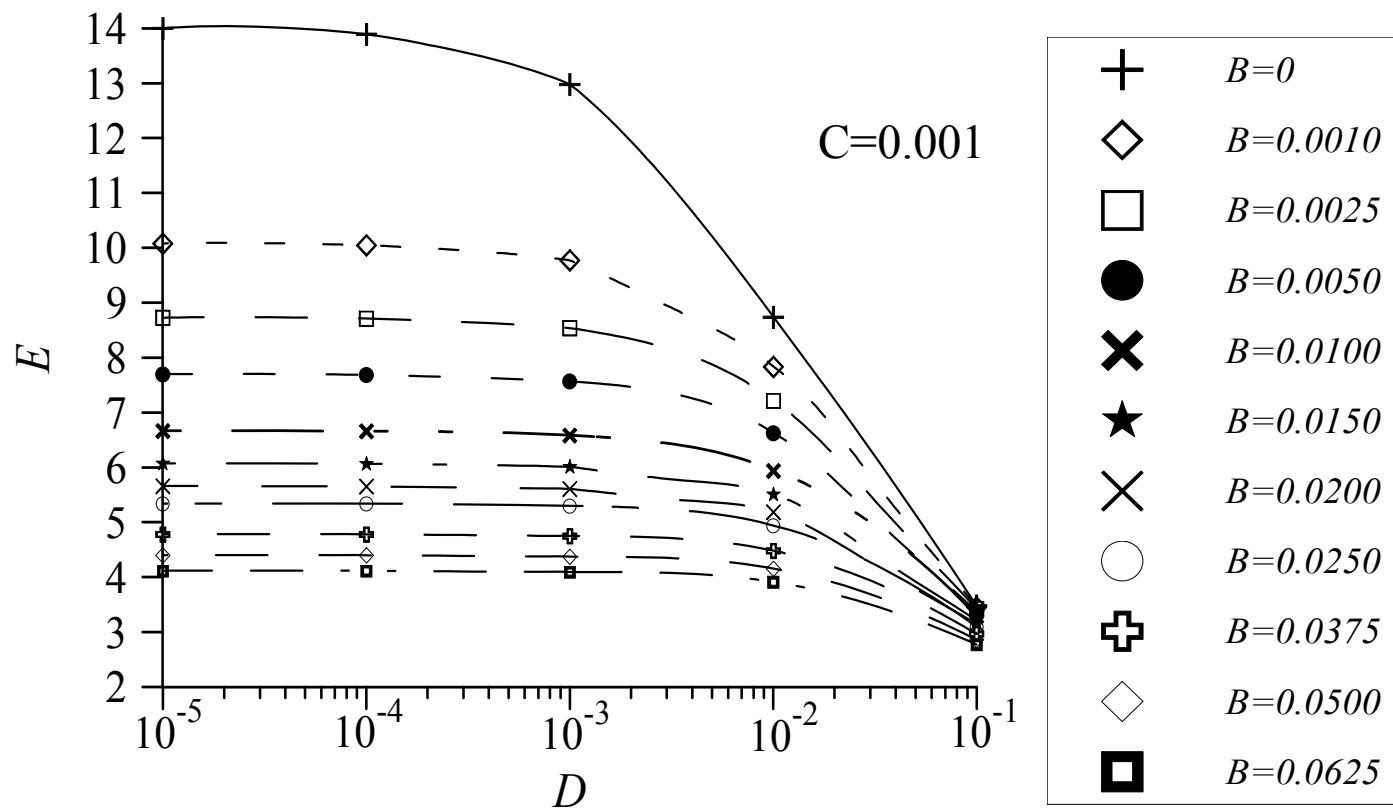
$$E = \frac{\lambda_{eff}}{\lambda_m}$$

$$Q = J_Z = \int_0^l \left( \int_0^X \frac{\partial T}{\partial Z} \Big|_{Z=0} dY \right) dX$$

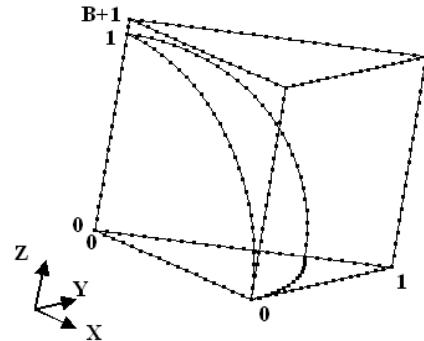
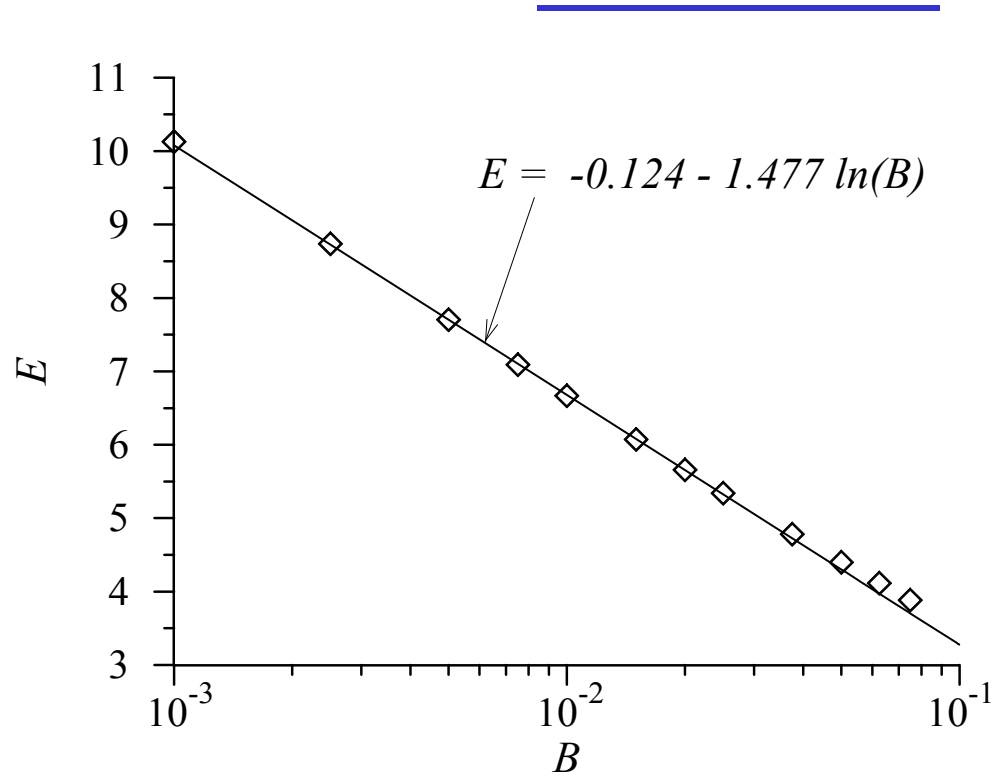
$$E = 2 Q(1+B)$$



$$B = \frac{b-a}{a} \quad C = \frac{r_c \lambda_m}{a} \quad D = \frac{\lambda_m}{\lambda_f}$$



## Magnitude effects



$$B = \frac{b-a}{a} \quad C = \frac{r_c \lambda_m}{a} \quad D = \frac{\lambda_m}{\lambda_f}$$

Fig. 4: Effective conductivity  $E$  vs.  $B$  with  $B \gg \{C,D\}$

Filp C., Garnier B., Danes F., J Heat Transfer 2007

## Effet de l'épaisseur de la paroi des billes creuses en aluminium (paramètre F)

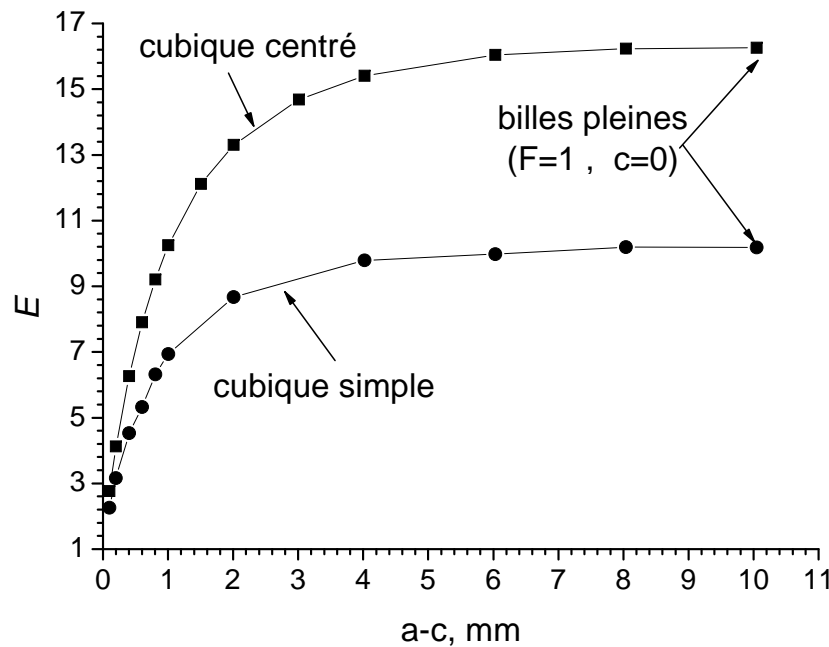
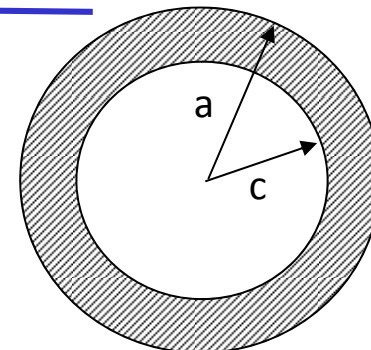


Fig. 7 : Effet de l'épaisseur de la paroi des billes creuses



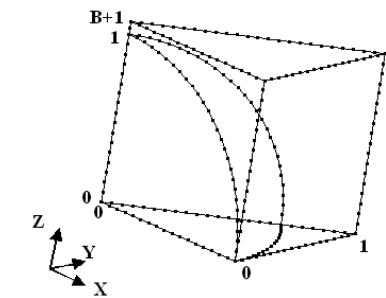
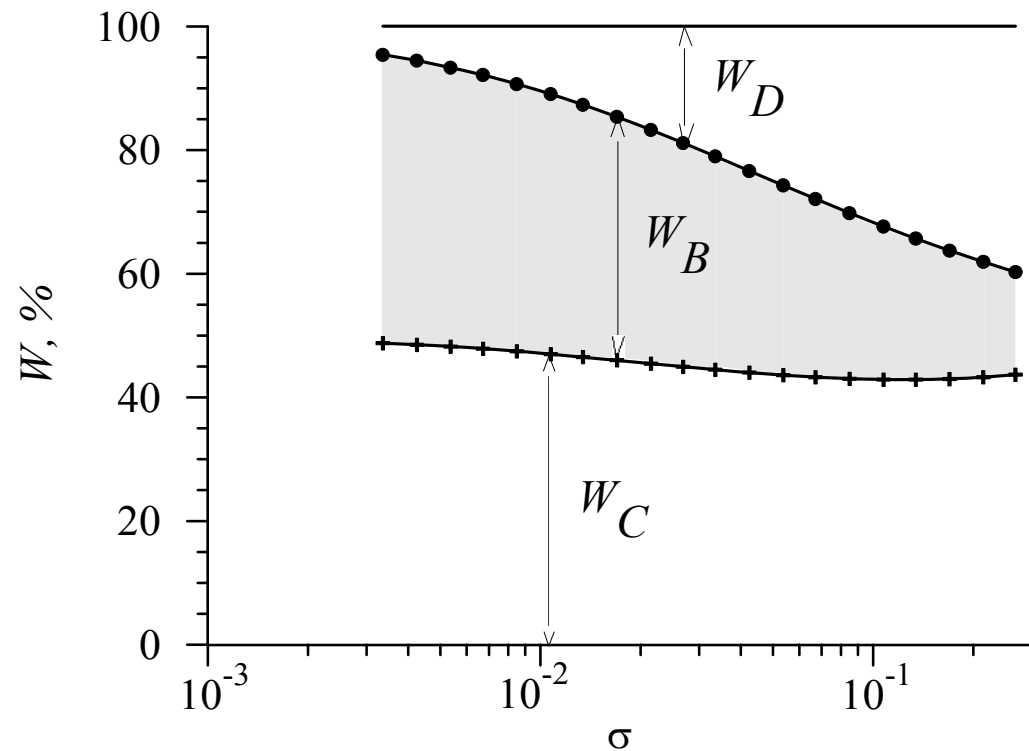
$a-c = 1.17\text{mm}$        $a = 10.05\text{mm}$

Rq :  $F=1$  correspond au cas des billes pleines

## Quantitative comparison of the effects of factors

### 21 factorial experiment plans $2^3$

$$B = \frac{b-a}{a} \quad C = \frac{r_c \lambda_m}{a} \quad D = \frac{\lambda_m}{\lambda_f}$$



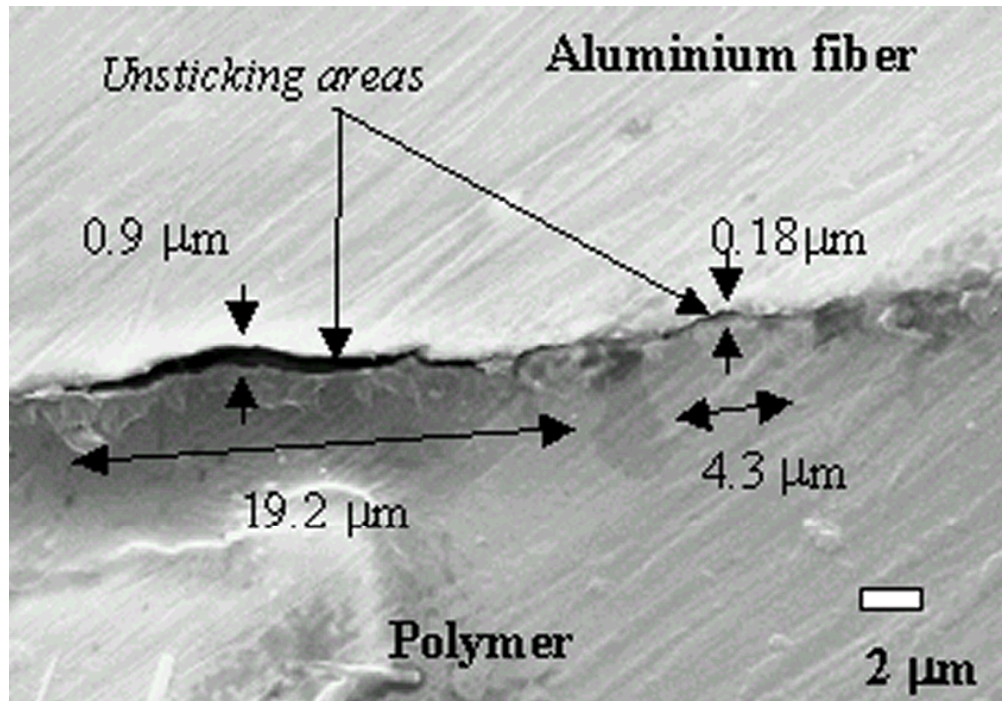
$0.001 < \text{each factor} < 0.1$

$$\sigma = B + C + D$$

Fig. 5: Weights of pure factors  $B$ ,  $C$ , and  $D$  within the total variation of the effective longitudinal conductivity  $E$ , at nearby equal values of the three factors

### 3- Résistance thermique de contact (RTC) inclusion/matrice

---



SEM analysis of the Aluminum/ PBT polymer interface

→ Comment mesurer localement la RTC particules d'aluminium / matrice polymère ?

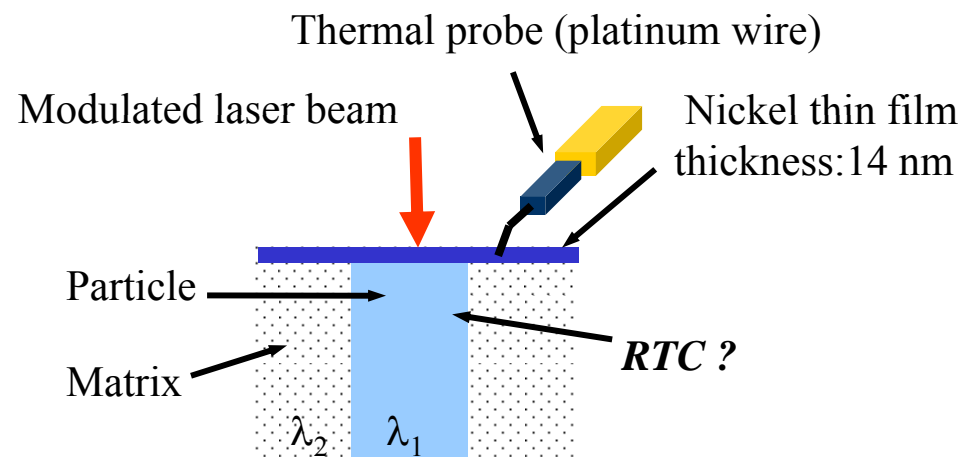
## **Literature review on microscale methods for particle/ matrix thermal contact resistance measurement:**

- methods with contact: the probe sample TCR does not appear to be much lower than the particle/matrix TCR under investigation
  - modulated thermoreflectance: some order of magnitude for TCR at grain boundaries in aluminum nitride ( Pelissonnier 1996)
- Not much TCR values between constituents were measured locally in polymer matrix composites

## *“Microphotomètre à pointe”*

LTN

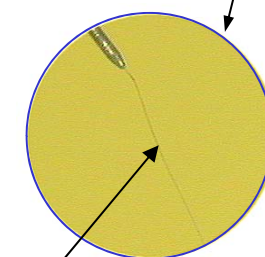
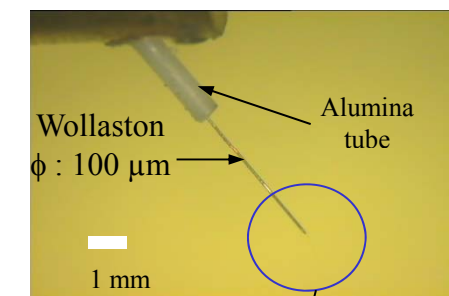
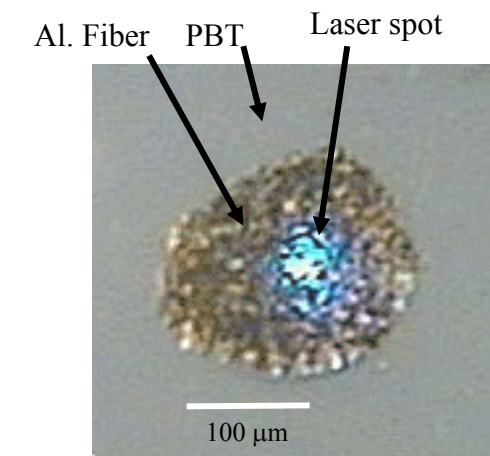
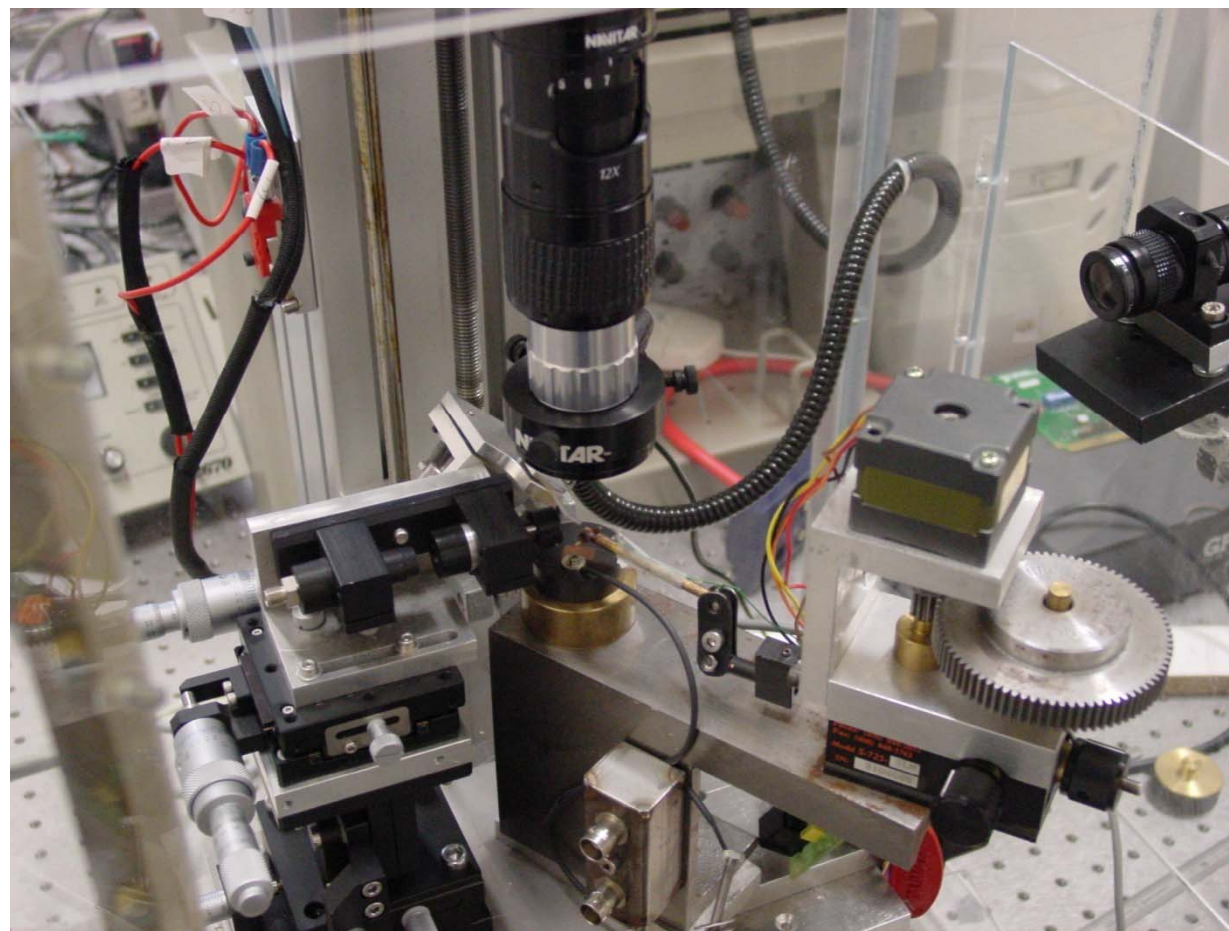
POLYTECH  
NANTES



**Fig. 1 : TCR measurement procedure**

- **Heating:** modulated laser pump beam
- **Phase lag temperature measurement:** thermocouple with a nickel thin film (14nm thick) and a platinum wire (2  $\mu\text{m}$  dia.)

## *Experimental setup*

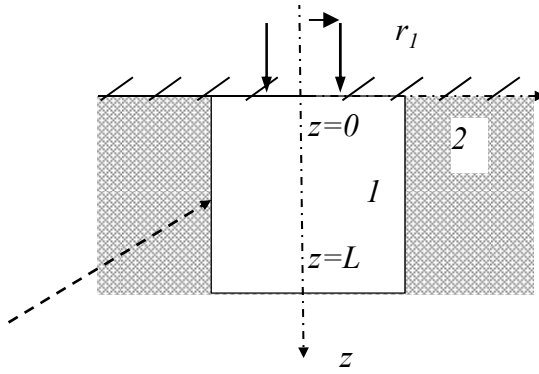


Platinum wire 2  $\mu\text{m}$  dia.

## Heat transfer model

---

Disk source of radius  $r_0$



2D cylindrical  $\psi(r,z)$

- $T(r,z,t) = \operatorname{real}(\theta(r,z)) e^{j2\pi f t}$
- Integral transform  $\theta_i(r,0) = \sum_{k=1}^{\infty} L \left[ A_{i,k} I_0(\sigma_{i,k} r) + B_{i,k} K_0(\sigma_{i,k} r) \right]$   
with  $\delta_i = \sqrt{a_i / (\pi f)}$  and  $\sigma_{i,k}^2 = (k\pi)^2 L^{-2} + 2j\delta_i^{-2}$
- $A_{i,k}$  and  $B_{i,k}$  are solutions of :

$$\begin{bmatrix} 1 & -I & -K_0(\sigma_{i,k} r_0) & I_0^l(\sigma_{i,k} r_0) & 0 \\ 1 & -I & K_l(\sigma_{i,k} r_0) & I_l^l(\sigma_{i,k} r_0) & 0 \\ 0 & I_0(\sigma_{i,k} r_l) & K_0(\sigma_{i,k} r_l) & -[K_0(\sigma_{2,k} r_l) + R_c \lambda_2 \sigma_{2,k} K_l(\sigma_{2,k} r_l)] & B_{l,k} \\ 0 & I_l(\sigma_{i,k} r_l) & -K_l(\sigma_{i,k} r_l) & \lambda_2 \sigma_{2,k} \lambda_l^{-1} \cdot \sigma_{i,k}^{-1} K_l(\sigma_{2,k} r_l) & B_{2,k} \end{bmatrix} \begin{bmatrix} A_{0,k} \\ A_{l,k} \\ B_{l,k} \\ B_{2,k} \end{bmatrix} = \begin{bmatrix} -\lambda_l^{-l} \cdot \sigma_{i,k}^{-2} \cdot I_0^l(\sigma_{i,k} r_0) \\ 0 \\ 0 \\ 0 \end{bmatrix}$$

→ Temperature phase lag  $\psi$  :       $\psi = \arg(\theta)$ .

## Results

---

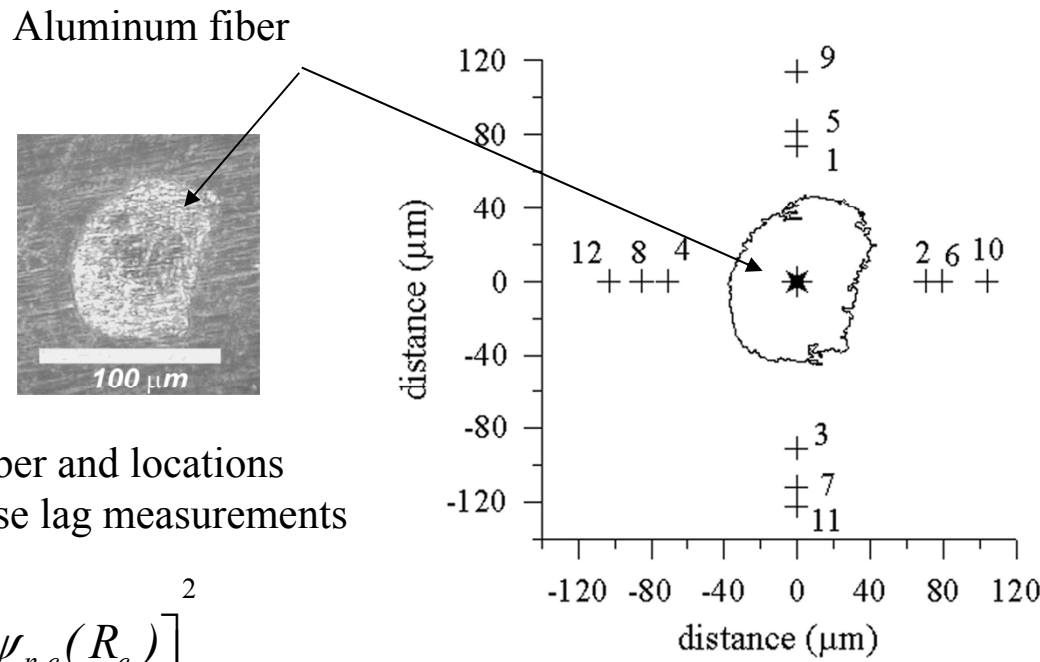


Figure 3. Aluminum fiber and locations of the temperature phase lag measurements

$$S(R) = \sum_{n=1}^{12} \left[ \psi_{n,m} - \psi_{n,c}(R_c) \right]^2$$

TABLE I: ESTIMATED PARTICLE/MATRIX THERMAL CONTACT RESISTANCE

$f$ , Hz	0.1	0.2	0.5	1	2
$R_c$ , $10^{-5}$ m <sup>2</sup> K/W	3.6	3.0	3.3	5.2	5.4

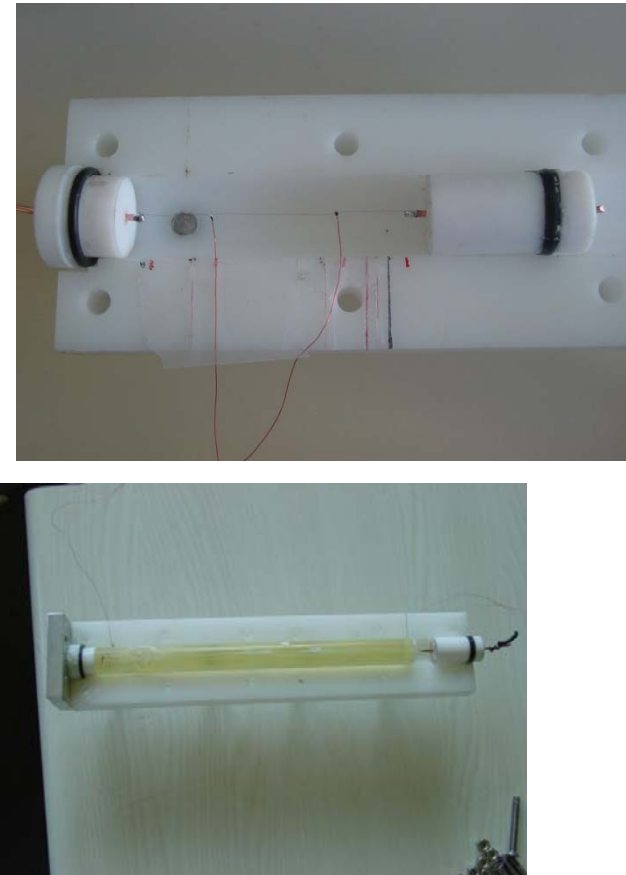
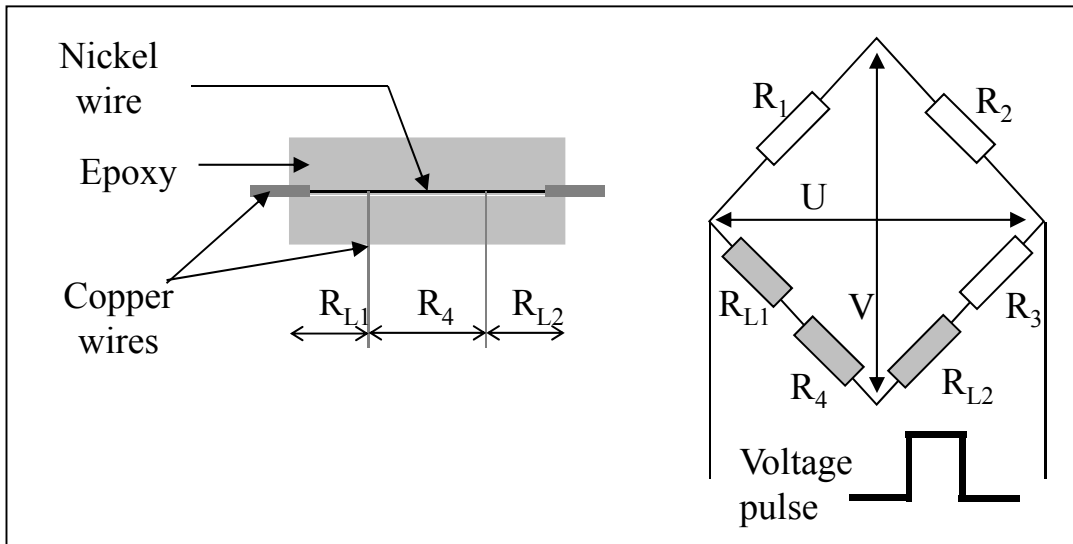
Average TCR value for PBT/alum. fiber:

$$\overline{R}_c = (3.81 \pm 0.59) \cdot 10^{-5} \text{ m}^2 \cdot \text{K} \cdot \text{W}^{-1}$$

## *Macroscopic technique for TCR measurement between a wire and the surrounding matrix*

### EXPERIMENTAL SETUPS:

Three experimental setups with nickel wires of  
 $\phi = 25, 50 \text{ and } 125 \mu\text{m}$



## *Heat transfer model*

---

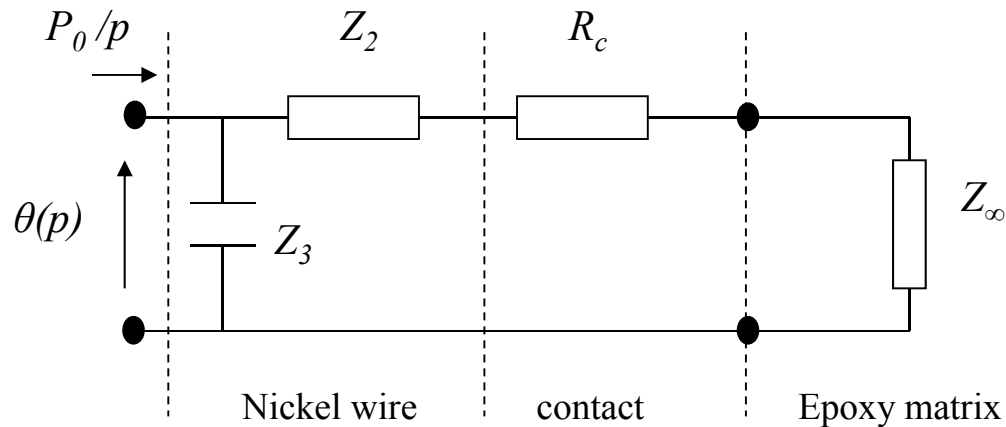


Figure 5. Equivalent impedance network

Laplace transform+ thermal quadrupoles (Maillet et al.2000):

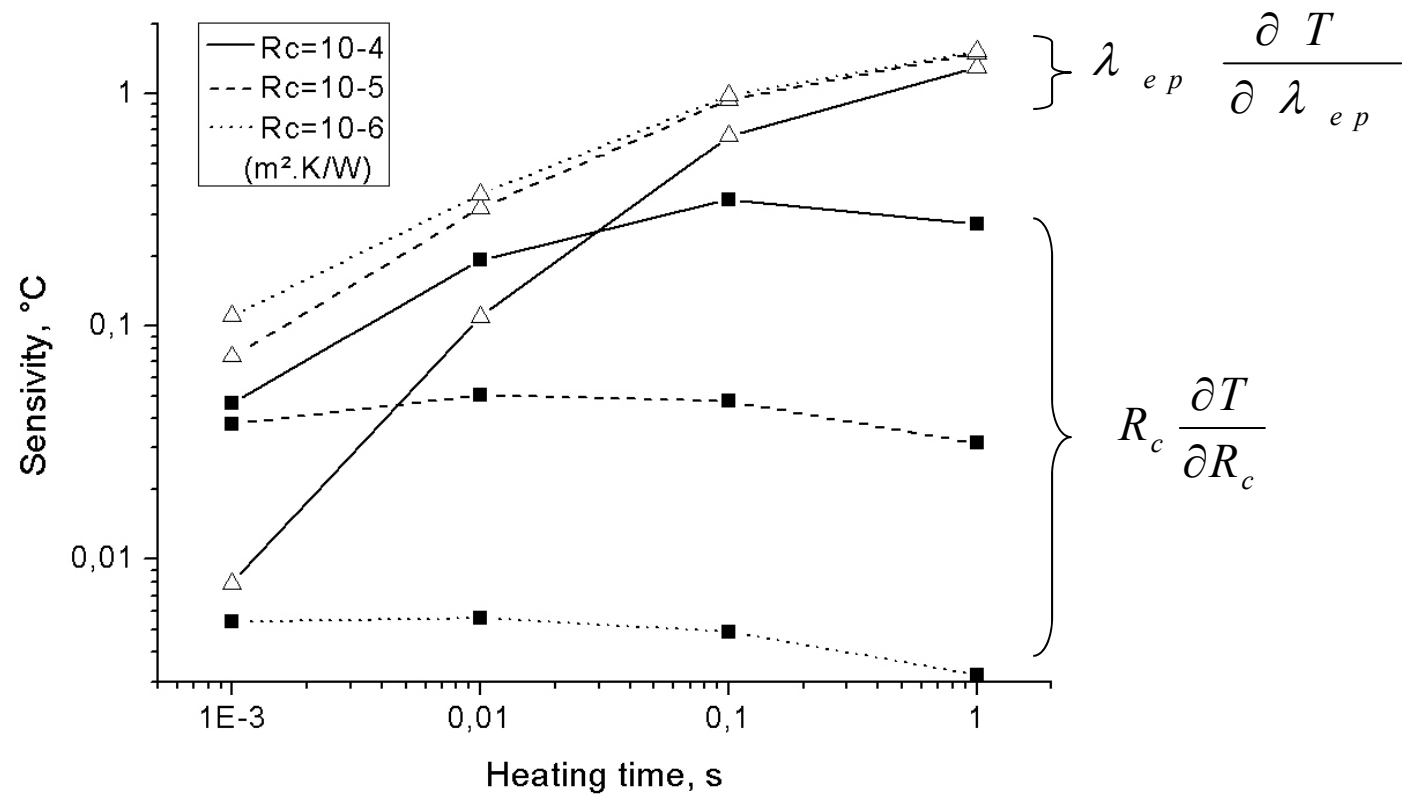
$$\theta(p, R_c) = \frac{P_0}{p} \cdot \frac{1}{\frac{1}{Z_3} + \frac{1}{Z_2 + \frac{R_c}{2\pi L r} + Z_\infty}}$$

$$Z_2 = \frac{I_0(s)}{2\pi\lambda_{Ni}LsI_1(s)} - \frac{1}{\rho_{Ni}c_{Ni}\pi r^2 L p}$$

$$Z_3 = \frac{1}{\rho_{Ni}c_{Ni}\pi r^2 L p} \quad s = r \sqrt{\frac{p}{a_{Ni}}}$$

$$Z_\infty = \frac{1}{2\pi\lambda_{ep}L} \frac{K_0(s')}{s' K_1(s')} \quad s' = r \sqrt{\frac{p}{a_{ep}}}$$

## Sensitivity analysis



→ For  $R_c \approx 10^{-5} \text{ m}^2\text{K/W}$ : the best heating time is 10ms

## Results

---

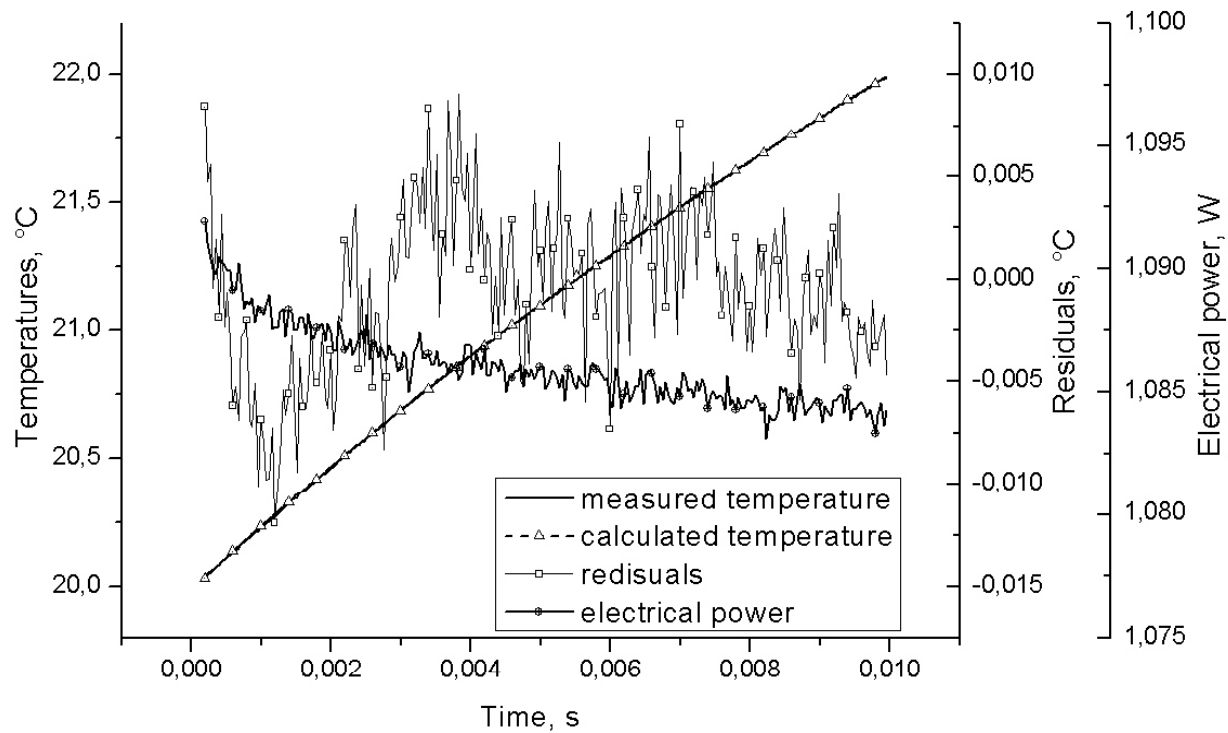


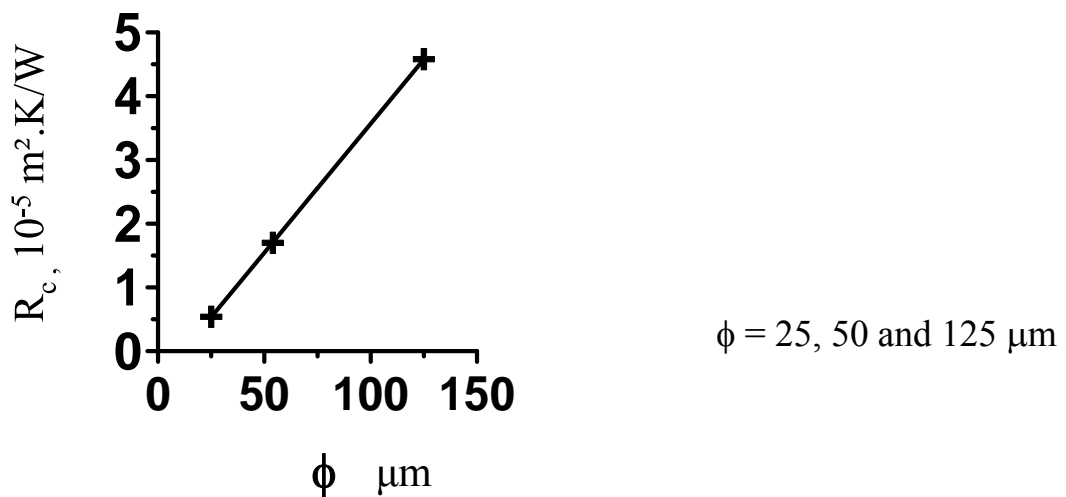
Figure 6. Measured and calculated temperatures, electrical power and residuals (wire with a 125 $\mu\text{m}$  diameter- test #1).

## Results

---

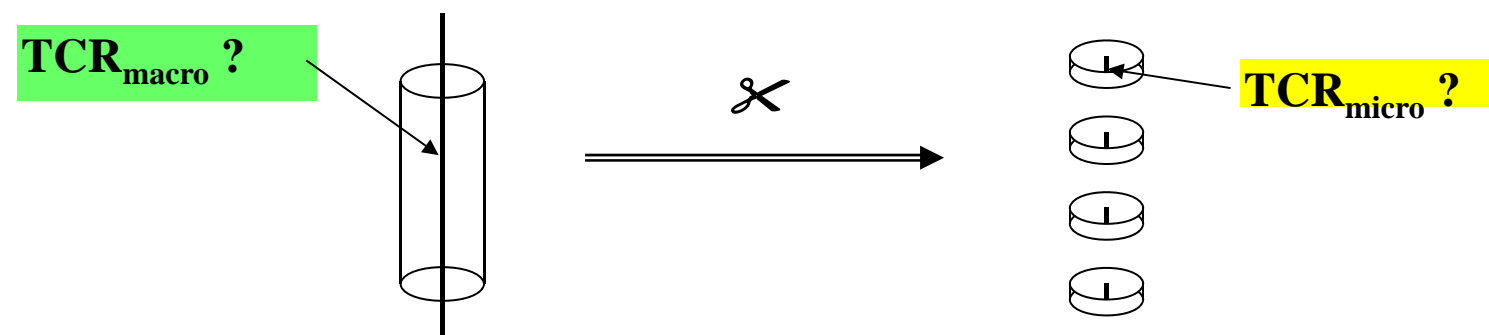
TABLE II. MEASURED THERMAL CONTACT  
RESISTANCES BETWEEN NICKEL WIRES AND EPOXY RESIN

Test	1	2	3	4	5	Averaged $R_c$
$R_c, 10^{-5} \text{ m}^2\text{.K/W}$ ( 25 $\mu\text{m}$ wire dia.),	0.427	0.638	0.469	0.628	0.534	0.54
$R_c, 10^{-5} \text{ m}^2\text{.K/W}$ ( 50 $\mu\text{m}$ wire dia.),	1.28	1.66	1.63	1.83	2.08	1.70
$R_c, 10^{-5} \text{ m}^2\text{.K/W}$ (125 $\mu\text{m}$ wire dia.)	4.51	4.42	4.30	5.73	3.92	4.58



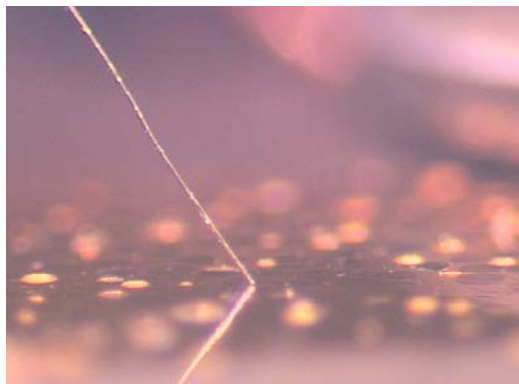
*Future work :*

1)  $\text{TCR}_{\text{macro}} = \text{TCR}_{\text{micro}}$  ?

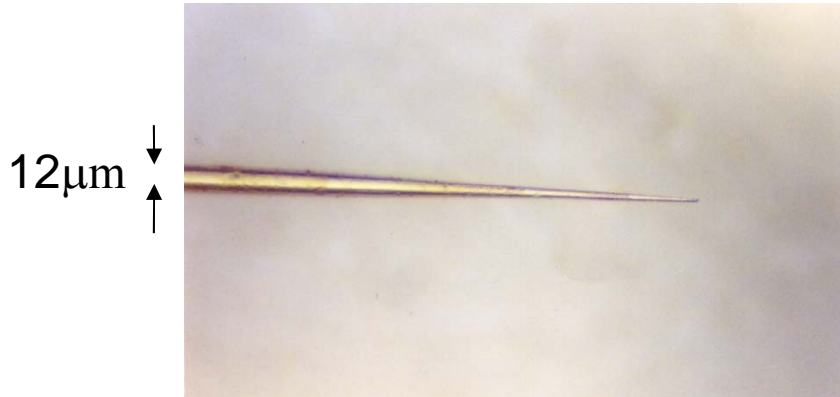


## Future work :

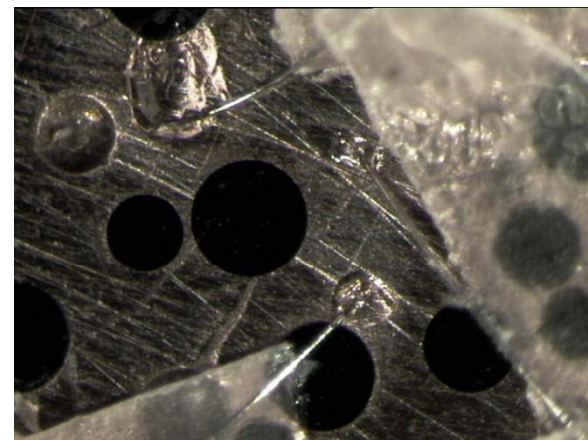
2) Thermal contact resistance between 300  $\mu\text{m}$  carbon particle and copper matrix ?



Nickel wire diam 20 $\mu\text{m}$



Chromel wire, diam. 12mm



Ultrasonic welding  
(Nickel wire diam 20 $\mu\text{m}$ )

## Conclusion

---

- The greatest transversal thermal conductivity obtained here is  
**2.2 W/ m K**  
(PBT + 43% vol. aluminum fiber – av. length 1.1 mm and av. diameter 0.09mm-)
- Further improvements (higher  $\lambda$  , better uniformity) could come from:
  1. Polymer blend
  2. Foam like metallic filler
  3. Surfactant (?)
  4. Further decrease of the filler size